

桁橋の移動荷重による動的応答に対する制振装置の開発

大阪大学工学部 正員 川谷充郎 大阪大学大学院 学生員 ○西山誠治
大阪大学工学部 学生員 木本明男 (株)森技術研究所 森淳彦

1. まえがき 長大橋梁あるいは高層ビルでの振動制御が注目されているが、道路橋の走行車両による動的応答について、その制振の実績は少ない¹⁾⁻²⁾。道路橋における試験車走行実験によれば、大型ダンプトラックの走行速度が変わると、主桁動的応答の周波数の変化することが分かった³⁾。また、このような動的応答は、振幅と周波数が車両の通過と共に変化する過渡的な応答特性を有する。この種の動的挙動を制御しようとすると、パッシブ方式の動吸振器（TMD）では周波数の変化に対応できず、制振効果が悪くなる。そのような場合に、効果的なのはアクティブな制振装置であるが、アクチュエータ駆動のための大型動力設備を要し、通常の都市内高架橋に用いられる桁橋において、大きな設備の制振装置は適さない。筆者らはTMDを小さなアクチュエータ駆動力で制御し、制振効果を高めるハイブリッド方式を開発している⁴⁾。ここでは、制振装置の概要を紹介し、模型桁に対する制振効果の実験結果を報告する。

2. 振動制御装置の概要 (1) 橋桁制振装置 制振装置を実橋に設置する場合は橋桁内に納まるようにコンパクトにする必要があるため、制振質量を板ばねで支持する片持ち梁を基本系とする。その固有振動数は橋桁のそれにはほぼ一致させ、パッシブな性質を持たせる。制御力を加えるACサーボモータと制振質量とは、ブーリおよびタイミングベルトにより結合させる。橋桁に加速度センサーを取り付け、制振質量の変位を橋桁に追従させる位置サーボ系を構成する。本ハイブリッド型制振装置の基本仕様をTable 1に掲げる。

(2) 振動制御システムの構成 Fig. 1の構成プロック図に示すとく、Table 1 Properties of hybrid control system 桁模型の中央部に本制振装置を取り付ける。桁の同一箇所に取り付けた加速度計からの出力 \ddot{Z} より制振質量の変位指令信号 $X_0 = AZ + B\dot{Z} + C\ddot{Z}$ (A, B, C は定数) を算出する。この制振装置の変位指令 X_0 に対する実変位 X の周波数応答は、Fig. 2 に示す振幅および位相特性を持ち、5 Hz程度の卓越振動数を有する桁模型に対しては、一応有効な応答性があると言える。

正弦波振動について考えるとき、制振質量の変位 X を桁の振動速度 \dot{Z} に正比例させるためには、定数 B のみを最適値に設定し、定数 A と C は 0 でよいことになる。しかし、このような制御系では、本質的に高周波数領域ほど制御ループゲインが増加するために、必要な制御ゲインに達するまで定数 B を大きくする前に、高次の共振モードでの自励発振に陥る傾向を常に持っている。この自励振動発生の対策として、本制振装置では加速度信号增幅器にローパスフィルターを加え、高い周波数でのゲインを意識的に低下させた。もちろんこのために、桁の卓越振動数での位相遅れを生じるので、定数 A あるいは C を調整して、 \dot{Z} 信号に対する直角成分の信号を加算し、位相遅れを補正する。ここでは、定数 A のみを調整し、 C は常に 0 とした。Fig. 3 に桁の加速度信号 \ddot{Z} に対する制振質量の実変位 X の周波数応答特性を示す。当初、対象とする桁の応答周波数を 3 Hz としていたため、 $A=B=1000$ (それぞれ目盛り 0~1000 は定数 0~1.000 に対応)

Control mass	3.06 kg
Natural frequency	3.0~4.0 Hz
Displacement of control mass	± 35 mm

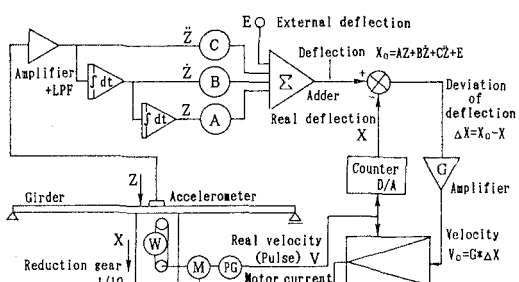


Fig. 1 Block diagram of control system

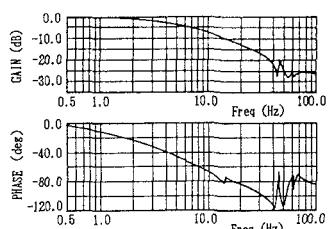


Fig. 2 Frequency response characteristics for deflection X_0

のとき、位相特性は3Hzにおいて約90°遅れで効果的な制振機構となっており、定数Aの位相遅れの補正効果が現れている。また、制振質量の振幅を見ても、5Hz程度まではA=B=1000の方の振幅が大きく、制振効果の高いことが分かる。

3. 枠橋模型実験 模型桁として、長さ5.5mのH型鋼を弱軸まわりに用い、支間長を5.4mとした。付加質量（等間隔配置、9個合計42.94kgf）および制振装置の重量16.21kgfを加えた模型桁の固有振動数は5.08Hzとなった。模型桁の構造諸元をTable 2に掲げる。

(1) 自由振動に対する制振効果 制振装置を停止させた場合

(A, B=0) および制振装置を作動させた場合について、模型桁の自由振動を測定し、制振効果を確認した。減衰自由振動波形の例をFig. 4に示し、対数減衰率および固有振動数をTable 3に掲げる。これらより、A, Bの値の大きい方が制振効果が高く、またそれと共に制振質量の変位も大きくなっていることが分かる。

(2) 台車走行実験 Fig. 5に示すように、移動荷重に相当する戸車付台車を製作し、振動を励起するように、ガイドレール上30cm間隔に人工段差（高さ0.6mm、幅19mm）を設けて台車走行実験を行った。

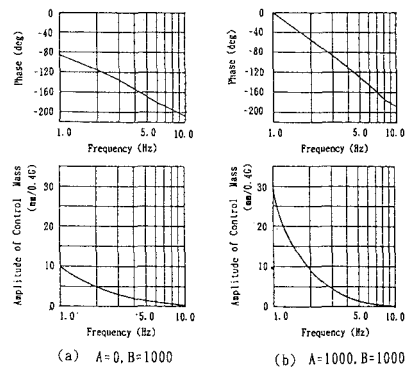
制振装置を停止した場合、および制振装置を作動させた場合の支間中央のたわみ波形および制振質量の変位をFig. 6に示す。制振装置を停止させた場合、段差を通過後、かなり大きい振幅の振動が励起され、継続している。その周波数はFig. 6(1), (2)のそれぞれ(a)に示すように、台車の重量が大きくなることにより5.0Hzから4.55Hzに1割程度変化している。制振装置を作動すると、このように周波数の変化する振動が十分に制御されていることが分かる。

Table 3 Damped free vibration of model girder

Control system	Amplitude (mm)	Number of wave	Logarithmic decrement	Natural frequency (Hz)	Displacement of control mass (mm)
no working	dis. 2.86-1.86 acc. 0.298-0.197	9	0.0182 0.0235	5.08 5.19	— -12.24
A, B=0					
working	dis. 2.40-1.23 acc. 0.272-0.124	4	0.0888 0.101	5.19 5.40	-21.04
A, B=500					
working	dis. 1.47-0.270 acc. 0.202-0.046	4	0.224 0.202	5.40 5.40	-21.04
A, B=1000					

参考文献

- 矢作 桢・吉田和彦：土木学会論文集、第365号／1-3、pp. 435-444、1985.4.
- 梶川康男・沖野 真・宇藤 滉・松浦康夫・伊開治郎：土木学会構造工学論文集、Vol.35A、pp. 585-595、1989.3.
- 難波宗行・川谷充郎・林 秀侃・中村一平・西星匡博：土木学会 第45回年次学術講演会講演概要集、I-375、1990.9.
- 川谷充郎・森 淳彦：土木学会 振動制御コロキウム講演論文集、pp. 197-204、1991.7.

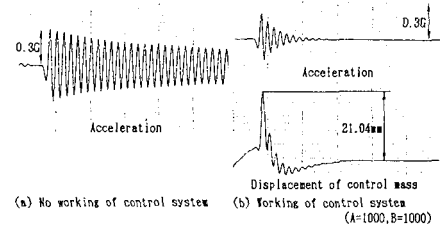


(a) $A=0, B=1000$ (b) $A=1000, B=1000$

Fig. 3 Frequency response characteristics for acceleration Z

Table 2 Structural properties of model girder

Span length	5.4 (m)
Cross sectional area	21.90 (cm^2)
Weight per unit length	17.2 (kgf/m)
Moment of inertia of area (ly)	134 (cm^4)
Additional mass (9 blocks)	42.94 (kgf)



(a) No working of control system (b) Working of control system

(A=1000, B=1000)

Fig. 4 Damped free vibration of model girder

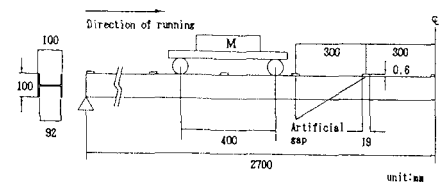
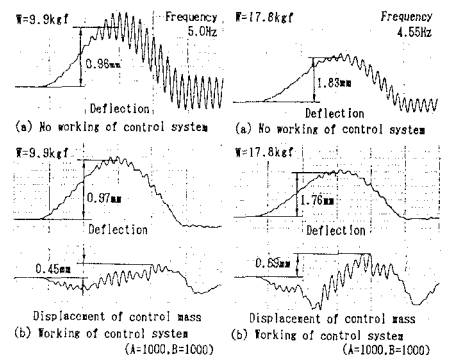


Fig. 5 Model girder and moving load



(a) No working of control system (b) Working of control system

(A=1000, B=1000)

(A=1000, B=1000)

(1) 9.9kgf weight of model girder

(2) 17.8kgf weight of model girder

Fig. 6 Dynamic response of model girder under moving load